

УДК 532.546

## ГИДРОДИНАМИЧЕСКИЙ АНАЛИЗ УСЛОВИЙ ВЫТЕСНЕНИЯ ПЛАСТОВЫХ ФЛЮИДОВ НА ОСНОВЕ ОСЕСИММЕТРИЧНОЙ МОДЕЛИ

И. Б. Чернощук

Институт гидродинамики им. М. А. Лаврентьева СО РАН, 630090 Новосибирск  
E-mail: irina@hydro.nsc.ru

Рассматривается осесимметричная задача о вытеснении пластовых флюидов фильтратом бурового раствора при бурении скважин с учетом образования глинистой корки. Анализируется распределение и изменение основных параметров процесса: объема фильтрата, толщины глинистой корки, нефтенасыщенности, давления. Определяется расположение фронтов водонасыщенности и концентрации солей. Полученные результаты сопоставляются с результатами геофизических исследований, выполненных при бурении вертикальных скважин.

**Ключевые слова:** зона проникновения, нефтенасыщенность, концентрация солей, давление, объем фильтрата, глинистая корка.

**Введение.** При бурении скважин возникает большой перепад давления, в результате чего фильтрат бурового раствора проникает в нефтенасыщенный пласт и вытесняет находящиеся в пласте воду и нефть, вызывая, таким образом, изменение физических свойств среды. Гидродинамический анализ этих процессов, основанный на результатах геофизических исследований прискважинной области, позволяет получить информацию о гидродинамических характеристиках пласта. Как правило, осесимметричная задача решается на первом этапе анализа структуры распределения нефтенасыщенности и концентрации солей. Полученные при этом данные позволяют проводить более точные исследования на основе пространственных моделей.

**Гидродинамическая модель.** Рассмотрим задачу в одномерной осесимметричной постановке (ось симметрии совпадает с осью скважины). Двухфазная фильтрация описывается уравнениями Баклея — Леверетта при дополнительном условии, налагаемом на сумму насыщенных водной и нефтяной фаз. Уравнения переноса подвижных фаз имеют вид [1–3]

$$\frac{\partial}{\partial t} (rm s_w) = \frac{\partial}{\partial r} \left( r k_w \frac{\partial p}{\partial r} \right); \quad (1)$$

$$\frac{\partial}{\partial t} (rm s_{oil}) = \frac{\partial}{\partial r} \left( r k_{oil} \frac{\partial p}{\partial r} \right); \quad (2)$$

$$s_w + s_{oil} = 1, \quad (3)$$

где  $r$  — радиус ( $r_b \leq r \leq L$ );  $r_b$  — радиус скважины;  $L$  — граница области (радиус влияния скважины);  $t$  — время;  $p$  — разность истинного и начального пластового  $p_f$  давлений;  $s_w$ ,  $s_{oil}$  — водо- и нефтенасыщенность;  $m$  — пористость пласта;  $k_w(s_w)$ ,  $k_{oil}(s_{oil})$  — фазовые проницаемости.

Зададим граничные условия на стенке скважины ( $r = r_b$ ):

— для водонасыщенности

$$s_w|_{r=r_b} = 1; \quad (4)$$

— для давления [4]

$$-q = \left( k_w \frac{\partial p}{\partial r} \right) \Big|_{r=r_b} = \beta (p|_{r=r_b} - p_b(t)), \quad \beta = \left( \beta_0^{-1} + \frac{d}{k_g^0} \right)^{-1}. \quad (5)$$

Параметр  $\beta$  определяет водообмен скважины с пластом, а также учитывает фильтрационное сопротивление в начальный момент вскрытия пласта  $\beta_0^{-1}$  и сопротивление  $d/k_g^0$ , обусловленное формированием глинистой корки ( $k_g^0 = k_g/\mu_w$ ;  $k_g$  — проницаемость корки;  $\mu_w$  — вязкость воды). Скорость роста глинистой корки пропорциональна объему фильтра (вынос глинистых частиц в пласт и изменение пористости в прискважинной зоне не учитываются), поэтому толщина глинистой корки  $d(t)$  определяется из уравнения

$$d'_t = \alpha(1 - d/d_{\max})^n q, \quad n \geq 0. \quad (6)$$

Условие для давления на границе области

$$p|_{r=L} = 0. \quad (7)$$

В (5), (6)  $p_b(t)$  — заданное давление внутри скважины;  $d_{\max}$  — максимальная толщина глинистой корки;  $\alpha$  — коэффициент, зависящий от пористости корки, доли глинистых частиц в буровом растворе и других параметров, определяющих условия роста корки [2].

Начальное распределение водонасыщенности постоянно:

$$s_w|_{t=0} = s_f. \quad (8)$$

Отметим, что уравнения (1), (2) записаны для подвижных фаз. Если учитывается влияние остаточных водо- и нефтенасыщенностей, то следует рассматривать общие уравнения, которые, в свою очередь, могут быть сведены к виду (1), (2) [5].

В случае несжимаемого пласта ( $m = \text{const}$ ) уравнения (1), (2) можно преобразовать. Сложив эти уравнения с учетом условия (3), получим выражение для суммарного расхода

$$r(k_w + k_{oil}) \frac{\partial p}{\partial r} = -v(t). \quad (9)$$

Обозначим  $s = s_w$  и введем функцию

$$F(s) = \frac{k_w(s)}{k_w(s) + k_{oil}(s)}. \quad (10)$$

Тогда из (9), (10) получим  $-v(t)F(s) = rk_w(s) \partial p / \partial r$ . Подставляя это соотношение в (1), имеем

$$rm \frac{\partial s}{\partial t} = -v(t) \frac{\partial F(s)}{\partial r}. \quad (11)$$

Перейдем к автомодельной переменной  $y = (r^2 - r_b^2) / \left( 2 \int_0^t v(t) dt \right)$ . Тогда (11) принимает

вид  $my = dF/ds$  или  $m(r^2 - r_b^2) / \left( 2 \int_0^t v(t) dt \right) = dF/ds$ . Граничное условие (4) выполнено,

если  $(dF/ds)|_{t=r_b} = 0$ . Введя обозначение удельного объема фильтрата  $V(t) = \int_0^t v(t) dt$ , окончательно получим

$$\frac{m}{2} \frac{r^2 - r_b^2}{V(t)} = \frac{dF}{ds}. \quad (12)$$

Уравнение (12) позволяет найти распределение насыщенности водной фазы  $s$  при любом значении  $V$ . В расчетах величина  $s$  полагалась заданной на сетке ( $s_f \leq s \leq 1$ ) и отыскивались соответствующие значения  $r = \sqrt{r_b^2 + (2V(t)/m) dF/ds}$ . Следует учесть, что, во-первых, необходима однозначность распределения  $s$ , во-вторых, начиная с некоторого расстояния от оси скважины  $r = l_s$  насыщенность остается неизменной и равной начальной пластовой  $s_f$  (8). Поэтому зависимость  $s(r)$  определялась следующим образом: при  $r < l_s$  величина  $s$  определяется по формуле (12), при  $r \geq l_s$   $s = s_f$ .

Найдем значение  $r = l_s(t)$ . Проинтегрировав уравнение (11) сначала по радиусу  $r$  от  $r_b$  до  $L$ , а затем по времени  $t$  от 0 до  $t$ , получим

$$\int_{r_b}^L rm(s - s_f) dr = -(F(s_f) - 1) \int_0^t v(t) dt = (1 - F(s_f))V(t).$$

Так как при  $r \geq l_s$   $s = s_f$ , то

$$\int_{r_b}^{l_s} rm(s - s_f) dr = (1 - F(s_f))V(t). \quad (13)$$

Интеграл в (13) вычисляется методом трапеции. Суммирование по  $\Delta r$  ведется до тех пор, пока знак неравенства между правой и левой частями не сменится на противоположный. Таким образом определяется значение  $r = l_s$ . На рис. 1 показано распределение  $s$  по радиусу при фиксированном удельном (на единицу длины скважины) объеме фильтрата

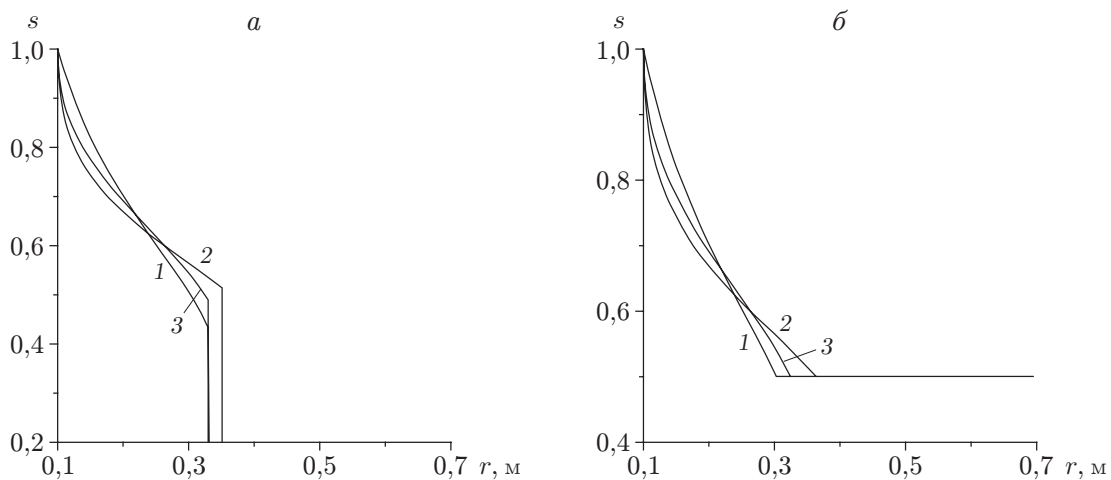


Рис. 1. Распределение водонасыщенности по радиусу при различных значениях фазовой проницаемости:  
а —  $s_f = 0,2$ ; б —  $s_f = 0,5$

$V(t) = 0,005 \text{ м}^2$  и значениях пластовой водонасыщенности  $s_f = 0,2; 0,5$  ( $r_b = 0,1 \text{ м}$ ,  $\mu_0 = 0,4$ ,  $m = 0,2$ ,  $k = 1 \text{ мД} \approx 1,02 \cdot 10^{-15} \text{ м}^2$ ,  $\mu_w = 1 \text{ сП} \approx 10^{-3} \text{ Па} \cdot \text{с}$ ). Кривые 1, 2 различаются зависимостями  $k_w = k_0 s^{n_w}$ ,  $k_{oil} = k_0 \mu_0 (1-s)^{n_{oil}}$  ( $k_0 = k/\mu_w$ ;  $k$  — проницаемость пласта;  $\mu_0 = \mu_w/\mu_{oil}$  — отношение вязкостей воды и нефти): для кривых 1  $n_w = n_{oil} = 2$ , для кривых 2  $n_w = n_{oil} = 3$ . Кривые 3 соответствуют более универсальному виду выражений для фазовых проницаемостей:  $k_w = k_0 [\delta s^{\alpha_1} + (1-\delta)s^{\beta_1}]$ ,  $k_{oil} = k_0 \mu_0 [\delta s^{\alpha_2} + (1-\delta)(1-s)^{\beta_2}]$ ,  $0 \leq \delta(s) \leq 1$ . В данном случае  $\alpha_1 = \alpha_2 = 3$ ,  $\beta_1 = \beta_2 = 2$ ,  $\delta(s) = s$ . Отметим, что использование данной интерполяционной формулы для задания вида фазовых проницаемостей позволяет получить распределение нефтяной фазы в зоне проникновения и согласовать результаты расчета по гидродинамической модели с данными геофизических исследований и лабораторных испытаний образцов керна.

При бурении скважин концентрации солей в буровом растворе и пластовой воде различны, поэтому внедрение фильтрата бурового раствора в пласт приводит к перераспределению концентрации и электрического сопротивления в прискважинной зоне [4]. Для моделирования процесса солепереноса водной фазой используется уравнение переноса консервативной примеси [1]

$$\frac{\partial}{\partial t}(rmsc) = \frac{\partial}{\partial r}(-Fvc), \quad c|_{r=r_b} = c_w, \quad c|_{t=0} = c_f, \quad (14)$$

где  $c$  — относительная концентрация вещества, переносимого водной фазой; функции  $v(t)$  и  $F(s)$  определены в (9) и (10) соответственно. Влияние гидродинамической дисперсии считается несущественным. Решение гиперболического уравнения (14) имеет вид ступенчатой функции: до прохождения фронта  $c = c_w$  при  $r \leq l_c(t)$ , после прохождения фронта  $c = c_f$  ( $c_w, c_f$  — относительные концентрации фильтрата и пластовой воды соответственно). В результате нормировки  $\tilde{c} = (c - c_f)/(c_w - c_f)$  (знак “ $\sim$ ” в дальнейшем опускается) получаем  $c = 1$  при  $r < l_c(t)$ ,  $c = 0$  при  $r > l_c(t)$ .

Определим уравнение фронта  $r = l_c(t)$ . Проинтегрировав уравнение (14) сначала по  $r$  от  $r_b$  до  $L$ , а затем по  $t$  от 0 до  $t$ , с учетом граничных и начальных условий, а также вида функции  $c$  получим

$$\int_{r_b}^{l_c} rms dr = \int_0^t v(t) dt = V(t). \quad (15)$$

Значение  $r = l_c$  находится из уравнения (15) по алгоритму, аналогичному алгоритму, использованному для нахождения зависимости  $l_s(t)$  из уравнения (13).

**Оценка параметров  $l_s$  и  $l_c$ .** Соотношение координат фронтов водонасыщенности и концентрации является одним из факторов, определяющих структуру зоны проникновения. При электромагнитном зондировании нефтенасыщенных пластов различные структуры могут быть легко идентифицированы [6, 7]. Выясним, в каких случаях выполняется условие  $l_s(t) > l_c(t)$ . Как сказано выше, положение фронтов  $l_s(t)$  и  $l_c(t)$  определяется из соотношений (13) и (15) соответственно. Соотношение (13) можно записать в виде

$$\int_{r_b}^{l_s} rms dr = \int_{r_b}^{l_s} rms_f dr + (1 - F(s_f))V(t) = ms_f \frac{l_s^2 - r_b^2}{2} + (1 - F(s_f))V(t). \quad (16)$$

Если  $l_s(t) > l_c(t)$ , то  $\int_{r_b}^{l_s} rms dr > \int_{r_b}^{l_c} rms dr$ . Тогда из (13), (16) следует

$$0 < -F(s_f)V(t) + ms_f(l_s^2 - r_b^2)/2. \quad (17)$$

Используя известное соотношение на фронте вытеснения  $r = l_s$  [3], условие (17) можно записать в виде

$$\frac{F(s_f)}{s_f} < \frac{F(s^-)}{s^-}, \quad s^- = \lim_{r \rightarrow (l_s - 0)} s.$$

В случае, когда водонасыщенность  $s$  не имеет разрыва на фронте, из (17) следует

$$\left. \frac{dF}{ds} \right|_{s(l_s)} > \frac{F(s_f)}{s_f}.$$

Расчеты показали, что при рассмотрении реальных пластов с высокой нефтенасыщенностью ( $s_f < 0,5$ ) фронт концентрации солей отстает от фронта водонасыщенности. Так, на рис. 1, *a* для кривых 1  $l_s = 0,330$ ,  $l_c = 0,288$ , для кривых 2  $l_s = 0,351$ ,  $l_c = 0,291$ , для кривых 3  $l_s = 0,329$ ,  $l_c = 0,286$ . Такие же результаты получены при геофизических исследованиях скважин. Следует отметить, что капиллярные силы и гидродинамическая дисперсия, как правило, приводят к “размазыванию” фронтов нефтенасыщенности и концентрации солей. Однако данная оценка позволяет получить общие представления о характере распределения флюидов в зоне проникновения.

**Учет процесса коркообразования.** Рассмотрим подробнее граничные условия (5), (6), моделирующие процесс роста корки. Отметим, что при  $r = r_b$  из (9) следует

$$v(t) = -r_b k_w(1)(\partial p / \partial r)|_{r=r_b}. \text{ Обозначим } Q(t) = \int_0^t q(t) dt. \text{ Тогда}$$

$$v(t) = r_b q(t), \quad V(t) = r_b Q(t). \quad (18)$$

Из (6) получаем выражение  $d' = \alpha(1 - d/d_{\max})^n Q'$ , где штрих означает полную производную по времени. Проинтегрировав это равенство и определив из начальных условий константу интегрирования, найдем толщину глинистой корки  $d$ :

$$d = d_{\max} - d_{\max} \left( \frac{\alpha(n-1)}{d_{\max}} Q + 1 \right)^{1/(1-n)}. \quad (19)$$

Отметим, что после достижения  $d$  максимального значения  $d_{\max}$  рост глинистой корки прекращается. Подставляя (19) в (5), получаем

$$\frac{dQ}{dt} = - \left( \beta_0^{-1} + \frac{d_{\max}}{k_g^0} \left( 1 - \left( \frac{\alpha(n-1)}{d_{\max}} Q + 1 \right)^{1/(1-n)} \right) \right)^{-1} (p|_{r=r_b} - p_b(t)),$$

откуда следует

$$\begin{aligned} \frac{d}{dt} \left( Q \beta_0^{-1} + \frac{Q d_{\max}}{k_g^0} - \frac{d_{\max}^2}{k_g^0 \alpha (n-1)} \frac{1-n}{2-n} \left( \frac{\alpha(n-1)}{d_{\max}} Q + 1 \right)^{(2-n)/(1-n)} \right) = \\ = - (p|_{r=r_b} - p_b(t)). \end{aligned} \quad (20)$$

Определим давление на границе скважины. Проинтегрировав (9) и определив константу интегрирования из условия (7), получим

$$p(t, r) = v(t) \int_r^D \frac{dr}{r(k_w(s) + k_{oil}(s))}. \quad (21)$$

Найдем приближенное решение рассматриваемой задачи. Обычно глубина зоны проникновения, в которой произошло изменение распределения пластовых флюидов, не превышает  $0,4 \div 0,6$  м, т. е. значительно меньше радиуса влияния скважины  $L$ , который варьируется от нескольких десятков до сотен метров. Вследствие этого изменение проницаемости

пласта в зоне проникновения оказывает незначительное влияние на распределение давления. Следовательно, с большой точностью при  $r = r_b$  выполняется соотношение

$$p(t, r_b) = v(t) \int_{r_b}^L \frac{dr}{r(k_w(s) + k_{oil}(s))} \approx v(t) \int_{r_b}^L \frac{dr}{r(k_w(s_f) + k_{oil}(s_f))}.$$

Подставляя полученное выражение в (20) и интегрируя по времени от 0 до  $t$  (с учетом (18)), находим уравнение для приближенной оценки объема фильтра  $V(t)$ :

$$\begin{aligned} \left( \frac{\beta_0^{-1}}{r_b} + \frac{d_{\max}}{k_g^0 r_b} + \frac{\ln(L/r_b)}{k_w(s_f) + k_{oil}(s_f)} \right) V + \frac{d_{\max}^2}{k_g^0 \alpha (2-n)} \left( \frac{\alpha(n-1)}{d_{\max} r_b} V + 1 \right)^{(2-n)/(1-n)} = \\ = \int_0^t p_b(t) dt + \frac{d_{\max}^2}{k_g^0 \alpha (2-n)}. \end{aligned}$$

**Определение давления.** Выше приведено численное решение, в котором при заданном объеме фильтра  $V(t)$  определялось распределение водонасыщенности  $s$  в зависимости от радиуса  $r$ . В соответствии с (21) для точного определения давления необходимо суммарный расход  $v(t)$  выразить через объем фильтра  $V(t)$ . Для этого используем определение (9) при  $r = r_b$  и граничные условия (5)–(7) при  $\beta_0^{-1} = 0$ ,  $n = 0$ :

$$v(t) = -\frac{k_g^0 r_b^2}{\alpha V(t)} (p|_{r=r_b} - p_b(t)).$$

С учетом выражения (21) для давления  $p$  при  $r = r_b$  получим

$$v(t) = \frac{k_g^0 r_b^2}{\alpha V(t)} p_b(t) \left( 1 + \frac{k_g^0 r_b^2}{\alpha V(t)} \int_{r_b}^L \frac{dr}{r(k_w(s) + k_{oil}(s))} \right)^{-1}.$$

Тогда

$$p(t, r) = \frac{k_g^0 r_b^2}{\alpha V(t)} p_b(t) \left( 1 + \frac{k_g^0 r_b^2}{\alpha V(t)} \int_{r_b}^L \frac{dr}{r(k_w(s) + k_{oil}(s))} \right)^{-1} \int_r^L \frac{dr}{r(k_w(s) + k_{oil}(s))}.$$

На рис. 2 представлены зависимости давления  $p$  от радиуса  $r$  при  $r_b = 0,1$  м,  $\mu_0 = 0,4$ ,  $m = 0,2$ ,  $p_b = 400$  м,  $L = 100$  м,  $k_g = 0,001$  мД,  $\alpha = 0,08$ ,  $s_f = 0,2$ . Из рис. 2 следует, что при фиксированной проницаемости пласта с увеличением объема фильтра кривые приближаются к оси абсцисс. В пластах с разной проницаемостью распределение давления существенно различается: в хорошо проницаемых пластах давление вблизи скважины быстро понижается, а в плохо проницаемых слоях его значение в течение достаточно длительного времени остается очень высоким. Этот факт является существенным при формировании вертикальных обменных потоков между соседними слоями с разной проницаемостью.

Приведенные в данной работе алгоритмы позволяют с большой точностью решать осесимметричную задачу. Зная только объем фильтра  $V(t)$ , можно восстановить все основные характеристики гидродинамических процессов, определяющих формирование зоны проникновения. Таким образом, появляется возможность эффективно решать обратные задачи послыной гидродинамической интерпретации нефтяных коллекторов, в которых важным искомым параметром является именно объем фильтра [4, 6].

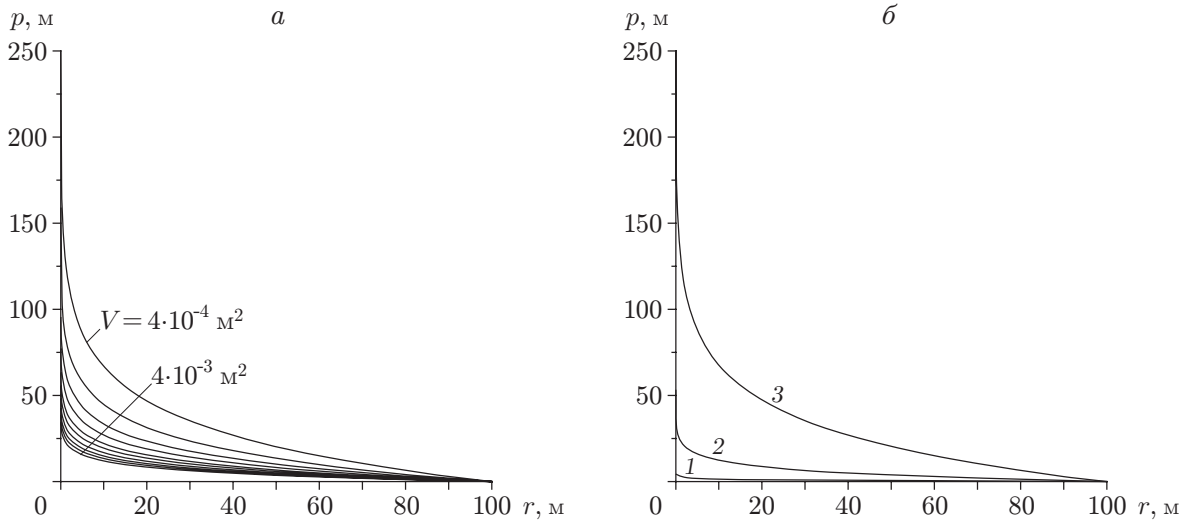


Рис. 2. Зависимости давления от радиуса:

$a$  —  $k = 1 \text{ мД}$ ,  $\Delta V = 4 \cdot 10^{-4} \text{ м}^2$ ;  $b$  —  $V(t) = 4 \cdot 10^{-4} \text{ м}^2$  ( $1$  —  $k = 100 \text{ мД}$ ;  $2$  —  $k = 10 \text{ мД}$ ;  $3$  —  $k = 1 \text{ мД}$ )

**Определение времени.** Для того чтобы установить связь режима бурения скважины с воздействием на пласт, необходимо знать время, при котором в зону проникновения поступает определенный объем фильтрата. Зависимость объема фильтрата от времени устанавливается на основе решения эволюционной разностной задачи. Для объема фильтрата можно записать разностное уравнение

$$\frac{dV}{dt} \approx \frac{V_{j+1} - V_j}{\tau_j} = v_{j+1/2} = \frac{v_{j+1} + v_j}{2},$$

где  $j$  — номер временного шага;  $V_j$ ,  $v_j$  — значения соответствующих сеточных функций

в момент времени  $t_j = \sum_{k=1}^j \tau_k$ .

На рис. 3 приведена зависимость объема фильтрата от времени при различных значениях проницаемости пласта ( $r_b = 0,1 \text{ м}$ ,  $\mu_0 = 0,4$ ,  $m = 0,2$ ,  $p_b = 400 \text{ м}$ ,  $L = 100 \text{ м}$ ,  $s_f = 0,2$ ,

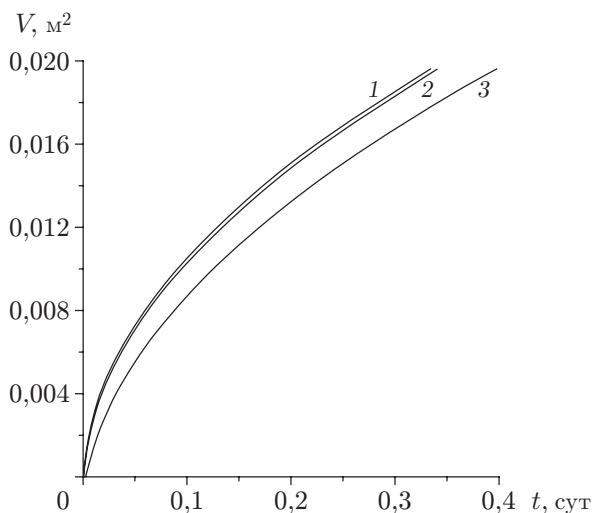


Рис. 3. Зависимость объема фильтрата от времени при различных значениях проницаемости пласта:

$1$  —  $k = 100 \text{ мД}$ ;  $2$  —  $k = 10 \text{ мД}$ ;  $3$  —  $k = 1 \text{ мД}$

$\alpha = 0,08$ ,  $k_g = 0,005$  мД). Видно, что объем фильтрата, а следовательно, и толщина глинистой корки увеличиваются с наибольшей скоростью в начальный момент вскрытия пласта, затем эта скорость уменьшается. Кроме того, различие объема фильтрата в хорошо проницаемых и среднепроницаемых пластах незначительно, объем фильтрата существенно уменьшается только в плохо проницаемых пластах.

**Сравнение с экспериментальными данными.** Геофизические исследования скважин позволяют определить некоторые характеристики рассмотренной модели [4, 6]. Параметры модели задавались с учетом данных геологического строения коллекторов и результатов геофизических исследований различных скважин. При кавернометрии скважины измеряется ее внутренний диаметр, что позволяет определить толщину глинистой корки  $d$ . Также можно использовать результаты электромагнитного зондирования скважины, в ходе которого измеряется электрическое сопротивление в прискважинной зоне на основе инверсии диаграмм в многофункциональной системе высокочастотного индукционного каротажного изопараметрического зондирования [6]. Положение полученной границы зоны изменения сопротивления может быть сопоставлено с положением фронта вытеснения нефтяной фазы в гидродинамической модели, т. е. можно сравнить полученное в расчетах значение  $r = l_s$  с соответствующим экспериментальным значением  $r_2$ . Ниже приводятся результаты сравнения численного решения и экспериментальных данных по этим двум параметрам на примере разведочной скважины Западно-Сибирского нефтяного месторождения. Исходные данные и полученные результаты приведены в табл. 1, 2. Кроме того, при проведении численных расчетов для описания процессов в данной сква-

Таблица 1

Исходные параметры (эксперимент)

Номер слоя	$z$ , м	$s_{oil} _{t=0}$	$t$ , ч	$m$	$k_0$ , м/сут
1	2519,4–2520,6	0,7045	39,63	0,1964	0,019 89
2	2520,6–2521,4	0,7352	39,30	0,2055	0,043 52
3	2521,4–2523,2	0,7748	38,87	0,2081	0,054 97
4	2524,6–2526,0	0,6559	37,87	0,1915	0,012 95
5	2526,0–2529,2	0,5988	37,10	0,1777	0,004 22
6	2532,2–2533,0	0,6598	35,43	0,1964	0,019 89
7	2535,2–2536,0	0,7606	34,43	0,2109	0,070 48
8	2538,2–2539,6	0,5970	33,33	0,1955	0,018 44
9	2539,6–2540,2	0,5236	33,00	0,1798	0,004 68

Таблица 2

Экспериментальные данные и результаты численного моделирования

Номер слоя	$d$ , м		$l_s$ , м (расчет)	$r_2$ , м (эксперимент)	$V$ , м <sup>2</sup> (расчет)
	Расчет	Эксперимент			
1	0,0087	0,0088	0,67	0,46	0,0160
2	0,0087	0,0088	0,65	0,73	0,0159
3	0,0086	0,0086	0,62	0,71	0,0158
4	0,0083	0,0084	0,70	0,56	0,0154
5	0,0080	0,0080	0,71	0,61	0,0151
6	0,0085	0,0090	0,67	0,65	0,0150
7	0,0080	0,0087	0,58	0,49	0,0149
8	0,0078	0,0078	0,67	0,49	0,0145
9	0,0075	0,0075	0,65	0,40	0,0141

жине использованы следующие значения параметров задачи, не определенные экспериментально:  $k_g = 0,003$  мД,  $\mu_0 = 0,4$ ,  $n_w = n_{oil} = 3$ , плотность пластовой жидкости  $\rho_f = 1,055 \cdot 10^{-3}$  кг/м<sup>3</sup>, плотность бурового раствора  $\rho_s = 1,065 \cdot 10^{-3}$  кг/м<sup>3</sup>, объемная концентрация твердых частиц в буровом растворе  $n_s = 0,034$ , пористость глинистой корки  $m_g = 0,4$ ,  $\alpha = n_s / [(1 - n_s)(1 - m_g)]$ . Скорость бурения порядка 72 м/сут, давление в скважине при бурении  $p_b = \gamma z$  ( $z$  — глубина залегания данного слоя;  $\gamma = (\rho_s - \rho_f) / \rho_w + \gamma_0$ ;  $\gamma_0 = 0,14$ ;  $\rho_w = 10^{-3}$  кг/м<sup>3</sup> — плотность воды). Параметр  $\gamma$  учитывает превышение гидростатического давления в скважине над пластовым и динамические потери давления при циркуляции бурового раствора.

Из табл. 1, 2 следует, что при использовании предложенной модели толщина глинистой корки определяется с достаточно большой точностью для всех рассмотренных слоев. При сопоставлении положения фронта вытеснения нефтяной фазы в гидродинамической модели и положения границы зоны изменения сопротивления следует учитывать факторы, ухудшающие согласование экспериментальных и расчетных значений. Во-первых, положение граничащих с глинами слоев в верхней части коллектора (слой 1 в табл. 1, 2) и слоев с достаточно малыми значениями нефтенасыщенности (слои 8, 9 в табл. 1, 2) при электромагнитном зондировании неточно определяет глубину зоны проникновения. Во-вторых, между слоями с различной проницаемостью существуют потоки, вызывающие перераспределение в пласте фильтрата и пластовых флюидов. Тем не менее в целом численные и экспериментальные данные удовлетворительно согласуются.

**Заключение.** В работе в достаточно общей постановке рассмотрена одномерная осесимметричная задача о вытеснении пластовых флюидов фильтратом бурового раствора при бурении вертикальных скважин с учетом образования глинистой корки. Полученные соотношения можно использовать для решения обратных задач и проведения исследований на основе пространственных моделей.

Автор выражает благодарность А. А. Кашеварову за помощь в работе.

## ЛИТЕРАТУРА

1. Развитие исследований по теории фильтрации в СССР. М.: Наука, 1969.
2. Коллинз Р. Течения жидкостей через пористые материалы. М.: Мир, 1964.
3. Ентов В. М. Гидродинамика процессов повышения нефтеотдачи / В. М. Ентов, А. Ф. Зазовский. М.: Недра, 1989.
4. Кашеваров А. А., Ельцов И. Н., Эпов М. И. Гидродинамическая модель формирования зоны проникновения при бурении скважин // ПМТФ. 2003. Т. 44, № 6. С. 148–157.
5. Жумагулов Б. Т. Новые компьютерные технологии в нефтедобыче / Б. Т. Жумагулов, Н. В. Зубов, В. Н. Монахов, Ш. С. Смагулов. Алматы: Гылым, 1996.
6. Ельцов И. Н., Кашеваров А. А., Соболев А. Ю. и др. Эволюция зоны проникновения по данным электромагнитного каротажа и гидродинамического моделирования // Геология и геофизика. 2004. Т. 45, № 8. С. 97–108.
7. Ельцов И. Н., Кашеваров А. А., Соболев А. Ю. и др. Обобщение формулы Арчи и типы радиального удельного электрического распределения в прискважинной зоне // Геофиз. вестн. 2004. № 7. С. 9–14.

Поступила в редакцию 21/VI 2004 г.,  
в окончательном варианте — 18/V 2007 г.